

پایداری مقاوم، کنترلگر فیدبک H_2 و H_∞ مقاوم با استفاده از نامساوی‌های ماتریسی خطی

محمد رضا داوودی^۱، فاطمه جمشیدی^۲

۱- دانشجویی دکتری مهندسی برق، دانشگاه تربیت مدرس، davoodi@ieee.org

۲- دانشجویی دکتری مهندسی برق، دانشگاه آزاد اسلامی، واحد علوم و تحقیقات فارس، Jamshidi1429@yahoo.com

چکیده

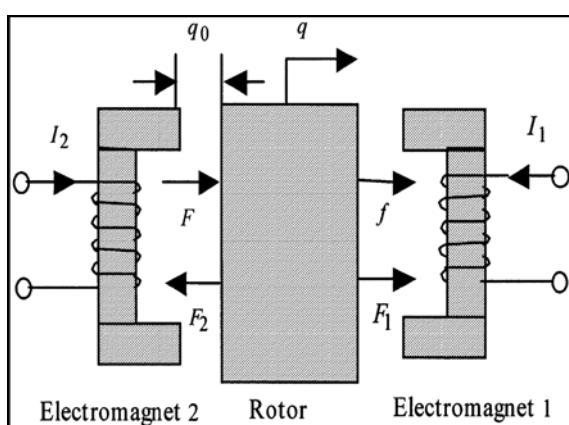
این مقاله یک پروسه طراحی برای پایداری مقاوم، کنترل H_2 و H_∞ مقاوم با استفاده از فیدبک خروجی دینامیکی برای دسته‌های از سیستم‌های خطی نامعین پیشنهاد می‌کند. عدم قطعیت‌ها از نوع نرم محدود هستند. تحقق فضای حالت کنترلگرها از حل چندین نامساوی ماتریسی خطی بدست می‌آید. پروسه پیشنهادی به یک سیستم بلبرینگ مغناطیسی فعال اعمال شده و نتایج شبیه‌سازی موثر بودن روش را نشان می‌دهد.

واژه‌های کلیدی

بلبرینگ مغناطیسی، پایداری مقاوم، کنترل فیدبک خروجی، کنترل H_2 و H_∞ مقاوم، نامساوی‌های ماتریسی خطی.

۱- مقدمه

گرفته شده‌اند [۲]. برای حذف نیاز به فیدبک سرعت، یک کنترلگر فیدبک خروجی پیشنهاد شده است که تنها از سیگنال موقعیت روتور استفاده می‌نماید.



شکل ۱- بلبرینگ مغناطیسی پایه

بلبرینگ مغناطیسی فعال^۱ مجموعه‌ای از الکترومگنت‌ها است که برای تعليق یک شی از طریق کنترل فیدبک بکار می‌رود. مزیت اصلی AMB، در مقایسه با بلبرینگ‌های هیدرواستاتیکی و مکانیکی عبارت است از: کاهش اصطکاک که به عملکرد موثر و مفید در سرعت‌های خیلی بالا منجر می‌شود، حذف روغنکاری و سیستم‌های تغذیه مربوطه، قابلیت کارکرد در خلا و دمای بالا و توانایی کنترل فعال بلبرینگ. به دلیل همین مزایا، AMB‌ها در بسیاری از کاربردهای صنعتی همچون ذخیره انرژی چرخ پرواز توربین‌های سرعت بالا و کمپرسور و ... کاربرد دارند [۱].

یک سیستم AMB پایه شامل یک الکترومگنت روی هر طرف یک روتور سخت مطابق شکل (۱)، در این مقاله مورد نظر است. طراحی کنترلگر براساس مدلی است که با یک سیستم مرتبه دوم بازه‌ای خطی با اغتشاش نامعلوم توصیف گردیده است. عدم قطعیت پارامتری در سیستم به خوبی با بازه‌های پارامتری معلوم توصیف شده است، در حالی که دینامیک‌های مدل نشده در اغتشاش در نظر

$$E_{1cl} = \begin{bmatrix} E_1 & 0 \\ E_2 D_c C_2 & E_2 C_c \end{bmatrix} \quad E_{2cl} = \begin{bmatrix} 0 \\ E_2 D_c D_{21} \end{bmatrix}$$

لم ۱: فرض کنید سیستم

$$\begin{cases} \dot{x}(t) = Ax(t) + Bw(t) \\ z(t) = Cx(t) + Dw(t) \end{cases} \quad (\text{F})$$

پایدار مجانبی باشد و $T_s = C(sI - A)^{-1}B + D$ بیانگرتابع تبدیل آن است. اگر $D = 0$ آنگاه عبارت زیر معادل هستند:

$$\|T\|_2 \leq \gamma \text{ (a)}$$

و Z وجود دارد به گونه‌ای که

$$\begin{bmatrix} A^T X + XA & XB \\ B^T X & -\gamma I \end{bmatrix} < 0, \quad \begin{bmatrix} X & C^T \\ C & Z \end{bmatrix} > 0 \quad (\textcircled{\omega})$$

$$\text{trace}(\mathbf{Z}) < \gamma$$

للم ۲ (لم حقیقی محدود): برای سیستم (4) ، عملکرد H_{∞} با $\gamma > 0$ معادل وجود $X > 0$ است که در رابطه زیر صدق کند:

$$\begin{bmatrix} AX + XA^T & B & XC^T \\ B^T & -\gamma I & D^T \\ CX & D & -\gamma I \end{bmatrix} < 0 \quad (8)$$

للم ۳ (مکمل شور): نامساوی خطی $\begin{bmatrix} Q(X) & S(X) \\ S^T(X) & R(X) \end{bmatrix} > 0$ که ایست باشد اگر $R = R^T > 0$ و S تابع نمو خطی از X است معادل $Q = Q^T$

$$\begin{cases} Q(X) - S(X)R^{-1}(X)S^T(X) > 0 \\ R(X) > 0 \end{cases}$$

للمبرهون: Σ, Ω, Γ ماتریس‌های با بعد مناسب هستند که Ω یک ماتریس مققارن است آنگاه برای هر ماتریس F که $FF^T \leq I$ ، $\Omega + \varepsilon \Gamma \Gamma^T + \varepsilon^{-1} \Sigma^T \Sigma \leq 0$ معادل $\Omega + \Gamma F \Sigma + (\Gamma F \Sigma)^{-1}$ است. اگر و تنها اگر ثابت $0 > \varepsilon$ وجود داشته باشد [۶].

٣- نتایج اصلی

۳-۱- پایداری مقاوم با استفاده از فیدبک خروجی

قضیه زیر یک LMI برای طراحی کنترلگر فیدبک خروجی که

قضیه ۱: مشابه [۳] متغیرهای کنترلگر به صورت زیر تغییر داده
می شوند:

نامساوی‌های ماتریسی خطی، تکنیک طراحی و فرمولاسیون قوی برای انواع مسائل کنترل خطی هستند. از آنجا که حل LMI یک مسئله بهینه‌یابی محدب است، چنین فرمولاسیونی یک ابزار عددی قابل ردیابی برای مسائلی است که حل تحلیلی ندارند. از این‌رو بیان مسائل طراحی کنترل به صورت LMI را می‌توان حل عملی آنها در نظر گرفت.

در این مقاله، پایداری مقاوم، عملکردهای H_2 و H_{∞} با استفاده از کنترل فیدبک خروجی برای دسته‌ای از سیستم‌های خطی نامعین بررسی گردیده است. شرایط مساله به صورت تعدادی LMI بیان شده است. در آخر، این مسایل به یک سیستم بلبرینگ مغناطیسی فعال اعمال گردیده است.

در بخش دوم بیان ریاضی سیستم، لم‌ها و قضیه‌های مورد نیاز برای پایداری مقاوم، عملکردهای H_2 و H_{∞} بیان شده‌اند. کاربرد روش‌های طراحی در سیستم بلبرینگ مغناطیسی و نتایج شبیه‌سازی در بخش ۳ به دنبال آن نتیجه‌گیری در بخش ۴ آمده است.

۲- بیان راضی سستم، نشانه‌ها و قضایا

این مقاله بر روی دسته‌ای از سیستم‌های خطی نامعین متمرکز است که با معادلات فضای حالت به فرم

$$\begin{cases} \dot{x} = (A + \Delta A(t))x(t) + B_1 w(t) + (B_2 + \Delta B_2(t))u(t) \\ z(t) = C_1 x(t) + D_{11} w(t) + D_{12} u(t) \\ y(t) = C_2 x(t) + D_{21} w(t) \end{cases} \quad (1)$$

قابل توصیف است. x ، متغیر حالت، w ، بردار ورودی اغتشاش، u ، بردار ورودی کنترل، z ، بردار خروجی کنترل شده، y ، بردار اندازه‌گیری، $A, B_1, B_2, C_1, C_2, D_{11}, D_{12}, D_{21}$ ، ماتریس‌های ثابت با بعد مناسب و $\Delta A(t), \Delta B_2(t)$ ، بیانگر عدم قطعیت‌های پارامتری نرم محدود به فرم $\Delta A = H_1 F_1 E_1$, $\Delta B_2 = H_2 F_2 E_2$ هستند. که H_1, E_1, H_2, E_2 ، ماتریس‌های ثابت حقیقی معلوم و F_1, F_2 ، ماتریس‌های نامعلوم هستند که عضو مجموعه $\Omega = \{F(t) | F^T(t)F(t) \leq 1, F(t) \text{ is lebesgue measurable}\}$ می‌باشند.

با اعمال کنترلگر فیدبک خروجی به فرم

$$\begin{cases} \dot{x}_c(t) = A_c x_c(t) + B_c y(t) \\ u(t) = C_c x_c(t) + D_c y(t) \end{cases} \quad (7)$$

به سیستم (۱) سیستم حلقه بسته به شکل زیر درمی‌آید:

$$\begin{cases} \dot{X}_{cl} = (A_{cl} + \Delta A_{cl}(t))X_{cl}(t) + (B_{cl} + \Delta B_{cl}(t))w(t) \\ z(t) = C_{cl}X_{cl}(t) + D_{cl}w(t) \end{cases} \quad (3)$$

که عدم قطعیت‌های حلقه بسته $\Delta A_{cl}(t), \Delta B_{cl}(t)$ عبارتند از

$$\Delta A_{cl} = H_{cl} F_{cl} E_{1cl}, \Delta B_{cl} = H_{cl} F_{cl} E_{2cl}$$

$$X = \begin{bmatrix} R & M \\ M^T & U \end{bmatrix}$$

$$X^{-1} = \begin{bmatrix} S & N \\ N^T & V \end{bmatrix} \quad (14)$$

افرازیندی شده‌اند. می‌توان اثبات کرد که X در تساوی

$$\Pi_1 = X\Pi_2, \Pi_1 = \begin{bmatrix} R & I \\ M^T & 0 \end{bmatrix}, \Pi_2 = \begin{bmatrix} I & S \\ 0 & N^T \end{bmatrix} \quad (15)$$

صدق می‌کند. اگر نامساوی $X > 0$ از چپ در Π_2^T و از راست در Π_2 ضرب شود، نامساوی (۹) بدست می‌آید. به طور مشابه، شرط LMI (۱۰)، از ضرب رابطه (۱۳) از چپ در $\text{diag}(\Pi_2^T, I, I)$ و از راست در $\text{diag}(\Pi_2, I, I)$ بدست می‌آید.

۲-۳- کنترل مقاوم H_∞ با استفاده از فیدبک خروجی

قضیه زیر یک LMI برای طراحی کنترلگر فیدبک خروجی که عملکرد H_∞ را تأمین می‌کند، پیشنهاد می‌نماید.

قضیه ۲: برای سیستم (۱)، کنترلگر فیدبک خروجی به فرم (۲) وجود دارد به‌گونه‌ای که سیستم حلقه بسته (۳) برای هر عدم قطعیت مجاز، عملکرد H_∞ با $\gamma > 0$ را تضمین می‌نماید اگر سیستم LMI‌های زیر حل پذیر باشد.

$$\hat{A}_c, \hat{B}_c, \hat{C}_c, \hat{D}_c, S = S^T \in R^{n \times n}, R = R^T \in R^{n \times n}$$

$$\begin{bmatrix} R & I \\ I & S \end{bmatrix} > 0 \quad (16)$$

$$\begin{bmatrix} \psi_A + \psi_A^T & \psi_B & \psi_c^T & \psi_E^T & \varepsilon \psi_H \\ * & -\gamma I & D_{cl}^T & E_{2cl}^T & 0 \\ * & * & -\gamma I & 0 & 0 \\ * & * & * & -\varepsilon I & 0 \\ * & * & * & * & -\varepsilon I \end{bmatrix} < 0 \quad (17)$$

$$\psi_A = \begin{bmatrix} AR + B_2 \hat{C}_c & A + B_2 \hat{D}_c C_2 \\ \hat{A}_c & SA + \hat{B}_c C_2 \end{bmatrix}$$

$$\psi_E = \begin{bmatrix} E_1 R & E_1 \\ E_2 \hat{C}_c & E_2 \hat{D}_c C_2 \end{bmatrix}, \psi_B = \begin{bmatrix} B_1 + B_2 \hat{D}_c D_{21} \\ SB_1 + \hat{B}_c D_{21} \end{bmatrix}$$

$$\psi_H = \begin{bmatrix} H_1 & H_2 \\ SH_1 & SH_2 \end{bmatrix}, \psi_c = \begin{bmatrix} C_1 R + D_{12} C_c & C_1 + D_{12} \hat{D}_c C_2 \end{bmatrix}$$

اثبات: با در نظر گرفتن (۶) برای سیستم حلقه بسته (۳)، نامساوی زیر بدست آمده است:

$$\hat{A}_c = SAP + NB_c C_2 R + SB_2 C_c M^T + NA_c M^T + SB_2 D_c C_2 R \quad (7)$$

$$\hat{B}_c = NB_c + SB_2 D_c \quad (8)$$

$$\hat{C}_c = C_c M^T + D_c C_2 R \quad (9)$$

$$\hat{D}_c = D_c \quad (10)$$

که M و N معکوس‌پذیر هستند و باید به‌گونه‌ای انتخاب شوند که

$$MN^T = I - RS \quad (11)$$

برای سیستم (۱)، کنترلگر فیدبک خروجی به فرم (۲) وجود دارد به‌گونه‌ای که سیستم حلقه بسته (۳) برای هر عدم قطعیت مجاز، پایداری حلقه بسته را تضمین می‌نماید اگر سیستم LMI‌های زیر حل پذیر باشد.

$$\hat{A}_c, \hat{B}_c, \hat{C}_c, \hat{D}_c, S = S^T \in R^{n \times n}, R = R^T \in R^{n \times n}$$

اسکalar $\varepsilon > 0$ را به‌گونه‌ای بیابید که

$$\begin{bmatrix} R & I \\ I & S \end{bmatrix} > 0 \quad (12)$$

$$\begin{bmatrix} \psi_A + \psi_A^T & \psi_E^T & \varepsilon \psi_H \\ * & -\varepsilon I & 0 \\ * & * & -\varepsilon I \end{bmatrix} < 0 \quad (13)$$

$$\psi_A = \begin{bmatrix} AB + B_2 \hat{C}_c & A + B_2 \hat{D}_c C_2 \\ \hat{A}_c & SA + \hat{B}_c C_2 \end{bmatrix} \quad (14)$$

$$\psi_H = \begin{bmatrix} H_1 & H_2 \\ SH_1 & SH_2 \end{bmatrix}, \psi_E = \begin{bmatrix} E_1 R & E_1 \\ E_2 \hat{C}_c & E_2 \hat{D}_c C_2 \end{bmatrix} \quad (15)$$

ماتریس حالت کنترلگر A_c, B_c, C_c, D_c را می‌توان از رابطه (۷) بدست آورد. توجه داشته باشید که * برای نشان دادن ترم‌های متقابران بکار رفته است.

اثبات: سیستم (۳) برای اغتشاشات Δ پایدار خوانده می‌شود، اگر ماتریس $X = X^T > 0$ وجود داشته باشد به‌گونه‌ای که

$$(A_{cl} + \Delta A_{cl}(t))^T X + X(A_{cl} + \Delta A_{cl}(t)) < 0 \quad (16)$$

با جدا کردن جزء نامعین نامساوی (۱۶) و استفاده از لم ۴، نامساوی زیر بدست می‌آید:

$$A_{cl} X + X A_{cl}^T + \varepsilon H_{cl} H_{cl}^T + \varepsilon^{-1} X E_{lcl}^T E_{lcl} X < 0 \quad (17)$$

با استفاده از مکمل شور برای نامساوی (۱۷)، داریم:

$$\begin{bmatrix} A_{cl} X + X A_{cl}^T & X E_{lcl}^T & \varepsilon H_{cl} \\ * & -\varepsilon I & 0 \\ * & * & -\varepsilon I \end{bmatrix} < 0 \quad (18)$$

نامساوی (۱۸) به‌دلیل ضرب شدن ماتریس‌های A_{cl} و X درهم،

$$\begin{bmatrix} R & I & \psi_c^T \\ I & S & Z \\ \psi_c & Z \end{bmatrix} > 0 \quad (22)$$

۹

$$\begin{bmatrix} \psi_A + \psi_A^T & \psi_B & \psi_E^T & \varepsilon \psi_H \\ * & -I & E_{2cl}^T & 0 \\ * & * & -\varepsilon I & 0 \\ * & * & * & -\varepsilon I \end{bmatrix} < 0 \quad (23)$$

که $\hat{A}_c, \hat{B}_c, \hat{C}_c, \hat{D}_c$ در (۲۳) تعریف شده‌اند.

اثبات: با در نظر گرفتن رابطه (۵) برای سیستم حلقه بسته (۳)، نامساوی‌های زیر بدست می‌آیند:

$$\begin{bmatrix} HermX(A_{cl} + \Delta A_{cl}) & X(B + \Delta B_{cl}) \\ * & -\gamma I \end{bmatrix} < 0, \quad (24)$$

$$\begin{bmatrix} X & C_{cl}^T \\ C_{cl} & Z \end{bmatrix} > 0, \text{trace}(Z) < \gamma$$

با جداکردن جزء نامعین نامساوی (۲۴) و با استفاده از لم γ نامساوی زیر بدست می‌آید

$$\begin{bmatrix} A_{cl}X + XA_{cl}^T + \varepsilon XH_{cl}H_{cl}^T X + \varepsilon^{-1}E_{lcl}^T E_{lcl} & * \\ B_{cl}^T X + \varepsilon^{-1}E_{2cl}^T E_{lcl} & \varepsilon^{-1}E_{2cl}^T E_{2cl} - I \end{bmatrix} < 0 \quad (25)$$

$$\begin{bmatrix} X & C_{cl}^T \\ C_{cl} & Z \end{bmatrix} > 0, \text{trace}(Z) < \gamma$$

با استفاده از مکمل شور برای نامساوی (۲۵) نامساوی زیر بدست می‌آید:

$$\begin{bmatrix} A_{cl}X + XA_{cl}^T & XB_{cl} & E_{lcl}^T & \varepsilon XH_{cl} \\ * & -I & E_{2cl}^T & 0 \\ * & * & -\varepsilon I & 0 \\ * & * & * & -\varepsilon I \end{bmatrix} < 0 \quad (26)$$

$$\begin{bmatrix} X & C_{cl}^T \\ C_{cl} & Z \end{bmatrix} > 0, \text{trace}(Z) < \gamma$$

نامساوی (۲۶) به دلیل ضرب شدن ماتریس‌های A_{cl} و X درهم، غیرمحدب است. از این رو X و X^{-1} مشابه (۱۴) افزایشی شده‌اند و Π_1 و Π_2 مشابه (۱۵) تعریف شده‌اند. اگر نامساوی $(\Pi_1, I)^T$ از چپ در $\begin{bmatrix} X & C_{cl}^T \\ C_{cl} & Z \end{bmatrix} > 0$ و از راست در LMI ضرب شود، نامساوی (۲۲) بدست می‌آید. به طور مشابه، شرط $\text{diag}(\Pi_2^T, I, I, I)$ از چپ در (۲۶) از چپ $\text{diag}(\Pi_2^T, I, I, I, I)$ و از راست در $\text{diag}(\Pi_2^T, I, I, I, I)$ بدست می‌آید.

$$\begin{bmatrix} Herm(A_{cl} + \Delta A_{cl})X & (B_{cl} + \Delta B_{cl}) & XC_{cl}^T \\ * & -\gamma I & D_{cl}^T \\ * & * & -\gamma I \end{bmatrix} < 0 \quad (19)$$

که $Herm$ بیانگر ترانه‌هاده هرمیتی است. با جداکردن جزء نامعین نامساوی (۱۹) و استفاده از لم γ ، نامساوی زیر بدست می‌آید:

$$\begin{bmatrix} A_{cl}X + XA_{cl}^T + \varepsilon XH_{cl}H_{cl}^T + \varepsilon^{-1}XE_{lcl}^T E_{lcl}X & * & * \\ B_{cl}^T + \varepsilon^{-1}E_{2cl}^T E_{lcl}X & -\gamma I + \varepsilon^{-1}E_{2cl}^T E_{2cl} & * \\ C_{cl}X & D_{cl} & -\gamma I \end{bmatrix} < 0 \quad (20)$$

با استفاده از مکمل شور برای نامساوی (۱۹) و استفاده از لم γ نامساوی زیر بدست می‌آید:

$$\begin{bmatrix} A_{cl}X + XA_{cl}^T & B_{cl} & XC_{cl}^T & XE_{lcl}^T & \varepsilon H_{cl} \\ * & -\gamma I & D_{cl}^T & E_{2cl}^T & 0 \\ * & * & -\gamma I & 0 & 0 \\ * & * & * & -\varepsilon I & 0 \\ * & * & * & * & -\varepsilon I \end{bmatrix} < 0 \quad (21)$$

نامساوی (۲۱) به دلیل ضرب شدن ماتریس‌های A_{cl} و X درهم، غیرمحدب است. از این رو X و X^{-1} مشابه (۱۴) افزایشی شده‌اند و Π_2 و Π_1 مشابه (۱۵) تعریف شده‌اند. اگر نامساوی $X > 0$ از چپ در Π_2^T و از راست در Π_2 ضرب شود، نامساوی (۱۶) بدست می‌آید. به طور مشابه، شرط LMI (۱۷) از چپ $\text{diag}(\Pi_2^T, I, I, I, I)$ و از راست در $\text{diag}(\Pi_2^T, I, I, I, I)$ بدست می‌آید.

نکته: از آنجاکه ε و ψ_H در رابطه (۱۷) درهم ضرب شده‌اند، این نامساوی غیرمحدب است. اما از آنجا که ε یک اسکالر است این نامساوی را به راحتی بهروش جستجوی خط روی ε می‌توان حل کرد. یک اسکالر مثبت دلخواه در نظر گرفته می‌شود آنگاه چنانچه مساله حل پذیر نباشد، این اسکالر به گونه‌ای تغییر داده می‌شود که مسئله حل پذیر شود.

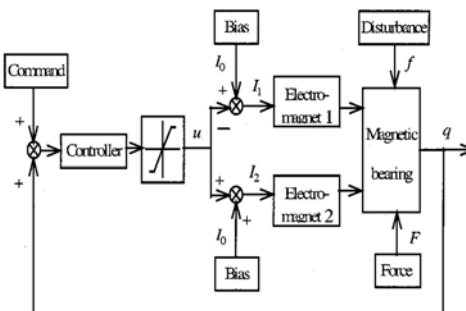
۳-۳-۳- کنترل H₂ مقاوم با استفاده از فیدبک خروجی

قضیه زیر یک LMI برای طراحی کنترلگر فیدبک خروجی که عملکرد H₂ را تأمین می‌کند، پیشنهاد می‌نماید.

قضیه ۳: برای سیستم (۱)، کنترلگر فیدبک خروجی به فرم (۲) وجود دارد به گونه‌ای که سیستم حلقه بسته (۳) برای هر عدم قطعیت مجاز، عملکرد H₂ را تضمین می‌نماید. اگر سیستم $R = R^T \in R^{n \times n}$ LMI های زیر حل پذیر باشد. $\hat{A}_c, \hat{B}_c, \hat{C}_c, \hat{D}_c$ و اسکالر $S = S^T \in R^{n \times n}$ را به گونه‌ای بیابید که

$$(A + \Delta A) = \begin{bmatrix} 0 & 1 \\ \frac{1}{w} & 0 \end{bmatrix}, B_1 = \begin{bmatrix} 0 \\ \frac{1}{m} \end{bmatrix}, (B_2 + \Delta B_2(t)) = \begin{bmatrix} 0 \\ \sigma \end{bmatrix} \quad (30)$$

$$C = [1 \ 0]$$



شکل ۲- دیاگرام سیستم کنترل

$$(A + \Delta A) = \begin{bmatrix} 0 & 1 \\ \frac{1}{w} & 0 \end{bmatrix}, B_1 = \begin{bmatrix} 0 \\ \frac{1}{m} \end{bmatrix}, (B_2 + \Delta B_2(t)) = \begin{bmatrix} 0 \\ \sigma \end{bmatrix} \quad (31)$$

$$C = [1 \ 0]$$

تبديل شود که $\bar{w} = w^2$ و پارامترهای w و σ در $\sigma_1 \leq \sigma \leq \sigma_2 < 0$ و $\bar{w}_2 \geq \bar{w} \geq \bar{w}_1 > 0$ صادقند. با تعریف مقادیر نامی $\bar{w}_0 = \frac{\bar{w}_1 + \bar{w}_2}{2}$ ، $\sigma_0 := \frac{\sigma_1 + \sigma_2}{2}$ و خطاهای مقیاس شده بهصورت $\Delta_1 = \frac{\sigma - \sigma_0}{\sigma_2 - \sigma_0}$ ، $\Delta_2 = \frac{\bar{w} - \bar{w}_0}{\bar{w}_2 - \bar{w}_0}$ میتوان $W_1 = \sigma_2 - \sigma_0$ و $W_2 = \bar{w}_2 - \bar{w}_0$ که $\sigma = \sigma_0 + W_1\Delta_1$ و $\bar{w} = \bar{w}_0 + W_2\Delta_2$ نوشت: W_1, W_2 با دسته عدم قطعیت های $\Delta_i = \{\Delta_i \in R \mid -1 < \Delta_i < 1\}$ و $\sigma \in [\sigma_1 \ \sigma_2]$ ، $w \in [w_1 \ w_2]$ با استفاده از مقادیر نامی σ_0, \bar{w}_0 و W_1, W_2 به عنوان وزن ها، به پارامترهای جدید Δ_1, Δ_2 تبدیل شده اند. بنابراین

$$A = \begin{bmatrix} 0 & 1 \\ \frac{1}{w_0} & 0 \end{bmatrix}, \Delta A = \begin{bmatrix} 0 & 0 \\ W_1\Delta_1 & 0 \end{bmatrix}, B_1 = \begin{bmatrix} 0 \\ \frac{1}{m} \end{bmatrix}, B_2 = \begin{bmatrix} 0 \\ \sigma_0 \end{bmatrix}$$

$$\Delta B_2(t) = \begin{bmatrix} 0 \\ W_2\Delta_2 \end{bmatrix}, C_1 = C_2 = [1 \ 0] = D_{11} = D_{12} = D_{21} = 0$$

و ماتریس های عدم قطعیت عبارتند از

$$\zeta H_1 = \begin{bmatrix} 0 & 0 \\ W_1 & 0 \end{bmatrix}, H_2 = \begin{bmatrix} 0 & 0 \\ W_2 & 0 \end{bmatrix}, E_1 = \begin{bmatrix} 1 & 0 \\ 0 & 1 \end{bmatrix}, E_2 = \begin{bmatrix} 1 \\ 0 \end{bmatrix}$$

کنترلگر فیدبک خروجی عمومی برای سیستم (۳۰) را میتوان به فرم زیر نوشت:

$$\begin{cases} \dot{x}_c(t) = A_c x_c(t) + B_c y(t) \\ u(t) = C_c x_c(t) + D_c y(t) + K_f F \end{cases} \quad (31)$$

۴- اعمال روش پیشنهادی به بلبرینگ مغناطیسی

۴-۱- بیان مساله

مدل ریاضی دینامیکی AMB نشان داده شده در شکل (۱) را میتوان بهصورت زیر بیان کرد:

$$m\ddot{q} = -\frac{\mu_0 AN^2}{4} \left[\left(\frac{I_1}{q_0 - q} \right)^2 - \left(\frac{I_2}{q_0 - q} \right)^2 \right] + f + F \quad (27)$$

که

m جرم روتور (kg)

q جابجایی موقعیت روتور (m)

q_0 فاصله هوایی نامی (m)

μ_0 نفوذپذیری خلا (H/m)

A مساحت کلی قطب صفحه هر الکترومگنت (m)

N تعداد دورهای هر سیم پیچ الکترومگنت

I_1, I_2 جریان سیم پیچ الکترومگنتها (A)

f اغتشاش مجھول (N)

F نیروهای معلومی که به روتور اعمال میشوند (N)

اگر (۱) در نقطه تعادل $I_1 = I_2 = I_0$ ، $q = 0$ خطی شود و با ساختار کنترل نشان داده شده در شکل (۲) الحال گردد، مدل خطی شده بهصورت سیستم مرتبه دوم زیر بدست می آید:

$$\ddot{q} - w^2 q = \sigma u + \frac{1}{m}(f + F) \quad (28)$$

که

$$w = \frac{\mu_0 AN^2 I_0^2}{mq_0^3}, \sigma = -\frac{\mu_0 AN^2 I_0}{mq_0^2} \quad (29)$$

بهدلیل رقیق نبودن اندازه گیری برخی از پارامترهای فیزیکی و تغییر شرایط محیطی، پارامترهای سیستم w و σ عموماً نامعین هستند. البته، بدون از دست دادن عمومیت، میتوان فرض کرد که مقادیر آنها در بازه های معلومی صدق می کنند

$w_1, w_2, \sigma_1, \sigma_2 \in [w_1 \ w_2]$ که $w \in [w_1 \ w_2]$

$w_2 \geq w_1 > 0, \sigma_1 \leq \sigma_2 < 0$ اسکالر های معلومی هستند که در

صدق می کنند. بهمنظور احتساب از نیاز به فیدبک سرعت و نیز

تأمین پایداری مطلوب، در این مقاله کنترل سیستم (۲۸) با استفاده از کنترلگر فیدبک خروجی پیشنهاد شده است. فرض کنید تنها

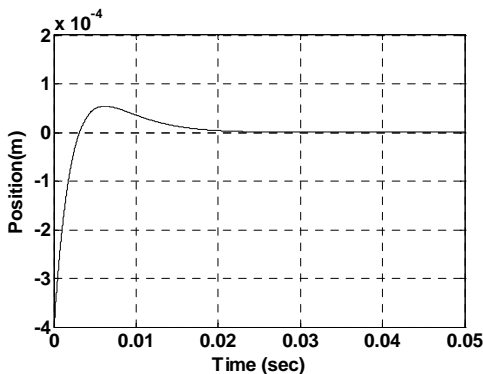
جابجایی موقعیت روتور اندازه گیری می شود و $x = \begin{bmatrix} q \\ \dot{q} \end{bmatrix}$ $y = q$

سیستم (۲۸) میتواند به فرم فضای حالت معادل

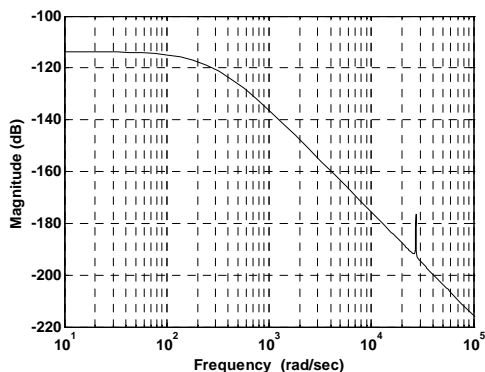
$$\begin{cases} \dot{x} = (A + \Delta A)x + B_1(f + F) + (B_2 + \Delta B_2(t))u \\ y(t) = Cx(t) \end{cases}$$

۵- نتیجه‌گیری

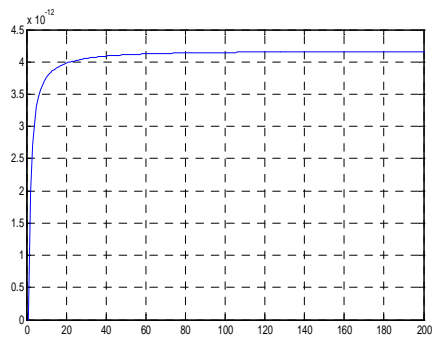
در این مقاله، پایداری مقاوم، عملکرد H_∞ و H_2 با استفاده از کنترل فیدبک خروجی برای دسته‌ای از سیستم‌های خطی نامعین بررسی شده است. شرایط مساله به صورت تعدادی نامساوی ماتریسی خطی بیان گردیده است. سپس این مسایل برای یک سیستم بلبرینگ مغناطیسی فعال حل شده‌اند تا یک چرخ پرواز ذخیره انرژی سرعت بالا را حمایت کند. نتایج شبیه‌سازی، مؤثربودن این طراحی را نشان می‌دهد.



شکل ۳- پاسخ سیستم حلقه بسته با استفاده از کنترلگر H_∞ مقاوم



شکل ۴- دیاگرام دامنه بود با استفاده از کنترلگر H_∞ مقاوم



شکل ۵- نسبت انرژی خروجی تنظیم شده به انرژی اغتشاش سیستم

که A_c, B_c, C_c, D_c ضرایب اسکالر کنترلگر هستند که باید طراحی شوند و ترم K_f برای جبران تأثیر نیروی F معرفی شده و به صورت زیر تعریف می‌شود [۲]:

$$\begin{cases} \dot{x}_c(t) = A_c x_c(t) + B_c y(t) \\ u(t) = C_c x_c(t) + D_c y(t) + K_f F \end{cases} \quad (۳۲)$$

که A_c, B_c, C_c, D_c ضرایب اسکالر کنترلگر هستند که باید طراحی شوند و ترم K_f برای جبران تأثیر نیروی F معرفی شده و به صورت زیر تعریف می‌شود [۲]:

$$K_f = -\frac{1}{m\sigma} = \frac{q_0^2}{\mu_0 A N^2 I_0} \quad (۳۳)$$

۶- نتایج شبیه‌سازی

مقادیر w و مقادیر مربوط به مرزهای بازه $w_i, \sigma_i, i = 1, 2$ در جدول (۱) آمده است. پارامترهای نامی بلبرینگ در جدول (۲) آورده شده است. پاسخ سیستم حلقه بسته با کنترلگر H_∞ مقاوم در شکل (۳) و دیاگرام دامنه بود آن در شکل (۴) آمده است. شکل (۵) نسبت انرژی خروجی تنظیم شده به انرژی اغتشاش این سیستم را نشان می‌دهد. پاسخ سیستم حلقه بسته با کنترلگر H_2 مقاوم در شکل (۶) و دیاگرام دامنه بود آن در شکل (۷) نشان داده شده است. مقدار γ بدست آمده از کنترلگر H_∞ بدون عدم قطعیت 0.016 و مقدار γ بدست آمده از کنترلگر H_2 بدون عدم قطعیت 2.1538×10^{-6} است. مقایسه نتایج نشان می‌دهد که کنترلگر H_∞ نسبت به سایر کنترلگرهای مقاومتر است اما پاسخ‌گذاری کنترلگر H_2 بهتر است.

جدول ۱- پارامترهای w و σ و حدود بالا و پایین آنها

پارامتر	مقدار
w	$359/\pi$
w_1	$-10/\pi$
w_2	240
σ	390
σ_1	-22
σ_2	-45

جدول ۲- پارامترهای مغناطیسی

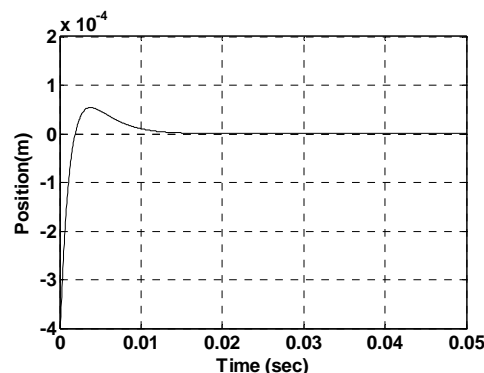
پارامتر	مقدار
m	$6kg$
A	$4 \times 2.1610^{-4} m^2$
N	40
I_0	$5A$
q_0	$0.4mm$

Synthesis for a Class of Uncertain Fuzzy Systems”, Proc. Fourth International Conference on Mechanical Learning and Cybernetics. August 2005.

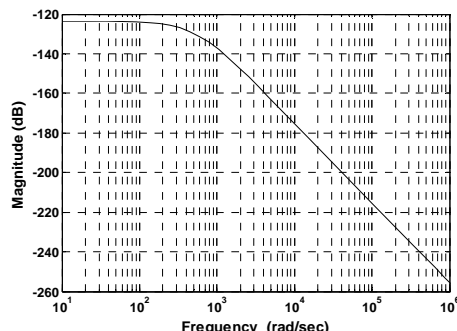
- [7] J. Löfberg. Y. ALMIP; A toolbox for modeling and optimization in MATLAB. In Proceedings of the CACSD Conference, Taipei, Taiwan, 2004. Available from <http://control.ee.ethz.ch/~joloef/yalmip.php>

۱۴- پی‌نوشت‌ها

- 1- Active Magnetic Bearing (AMB)
2- Linear Matrix Inequal



شکل ۶- پاسخ سیستم حلقه بسته با استفاده از کنترلگر H_2 مقاوم



شکل ۷- دیاگرام دامنه بود با استفاده از کنترلگر H_2 مقاوم

۱۳- مراجع

- [1] M. Dussaux; “The Industrial Applications of Active Magnetic Bearing Technology”, Proc. 2nd Int. Symp. Magnetic Bearings, July 12 – 14, pp. 33 – 38, 1990.
- [2] G.R. Duan, Z.Y. Wu, C. Bingham, D. Howe; “Robust Magnetic Bearing Control Using Stabilizing Dynamical Compensators”, Proc. 1999 Int. Elect. Machines Drives Conference, Seattle, WA, pp. 493 – 495, May 9 – 12, 1999.
- [3] C. Scherer, P. Gahinet, M. Chilali; “Multi-Objective Output Feedback Control via LMI Optimization”, IEEE Transaction on Automatic Control, Vol. 42, No. 7, pp. 896 - 911, July 1997.
- [4] M. Chilali, P. Gahinet; “ H_∞ Design with Pole Placement Constraints: an LMI Approach”, IEEE Transaction on Automatic Control, Vol. 41, No. 3, pp. 358 – 367, March 1996.
- [5] P. Gahinet, A. Nemirovski, A.J. Laub, M. Chilali; The LMI Control Toolbox: The Mathworks Inc., The Mathworks Inc., 1995.
- [6] L. He, G. Duan; “Multi-objective Control